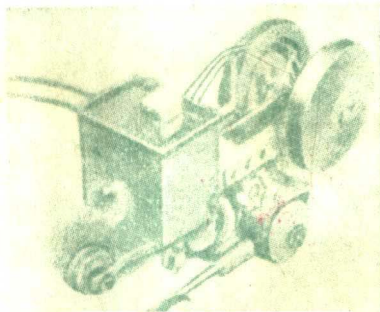


多焊条自动电焊

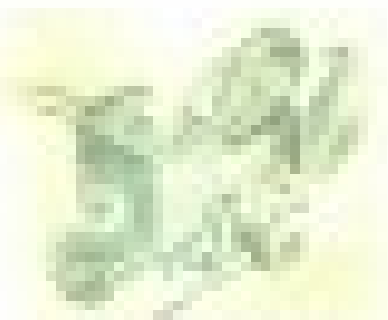
苏联 B·C·伏罗津著



石油工业出版社

本標準自動電梯

規範——標準



規範——標準

內 容 提 要

本書敘述了熔劑層下多焊條自動電焊的新方法及其所用的設備，
同時還介紹了應用多焊條自動電焊的先進經驗。
本書可供從事電焊工作的技術員和焊工參考。

В. С. ВОЛОДИН

АВТОМАТИЧЕСКАЯ МНОГОЭЛЕКТРОДНАЯ
ЭЛЕКТРОСВАРКА

根据苏联国立石油燃料科技書籍出版社(ГОСТОПТЕХИЗДАТ)
1953年列宁格勒版翻譯

統一書号：15037·221

多 焊 条 自 动 电 焊

顧 永 泉 譯

石油工業出版社出版(直撥：北京六部炕石油工業部十号楼)

北京市書刊出版發行業許可證出字第083號

北京市印刷一廠排印 新華書店發行

*

787×1092 $\frac{1}{2}$ 开本 * 印張 $\frac{1}{2}$ * 15千字 * 印1—3,600册

1957年3月北京第1版第1次印刷

定价(10)0.15元

序 言

苏联共产党第十九次党代表大会所通过的关于苏联發展國民經濟的 1951—1955 年第五个五年計劃的指示中决定，机械制造和金屬加工的产量約增加 1 倍。

在第五个五年計劃中規定要大大地發展汽輪机、水輪机和蒸汽鍋爐的生产。石油設備的生产 約 增加 2.5 倍。輸气管、輸油管及儲油罐的建造工作量要显著地增加。金屬結構制造厂的生产能力至少要增加 1 倍。

第五个五年計劃的指示中規定了在國民經濟的各个部門中今后的技术發展和在生产中更广泛地使用完备 的工艺 过程。

过去的年代里，电弧焊已成为苏联國民經濟各部門中广泛应用的、最先进的、生产率最高的金屬加工方法之一。

我国現在正广泛地应用和改进最先进的焊接方法——熔剂層下自动焊。

在焊接理論和焊接技术的創立和发展中，走在前面的是俄国的学者和工程 师 B. B. 彼得洛夫、H. H. 别納尔道斯和 H. Г. 斯拉夫揚諾夫等。

本書介紹石油工業部建設工程全蘇科学研究所拟定的熔剂層下多焊条自动电弧焊的新方法。

新的多焊条自动电焊方法是以作者較早研究出的电焊条束手工焊接法(确切地說，即多焊条焊接)为基础的。

由于多焊条自动电焊法在生产条件下进行过試驗和实际

驗証，因此建議在生产中广泛地应用这种方法。

由于这种焊接方法很簡單，所以熔剂層下多焊条自动电弧焊的方法可以推广到各个不同的工業部門中去，而且所得的經濟效果相當大。

本書想必能帮助很多焊工和專家来竭力提高勞动生产率、改善焊接工作質量，节省电能和材料，从而完成党十九次代表大会关于苏联發展国民经济的第五个五年計劃的指示。

毫無疑問，本書的讀者中一定会有很多积极的焊工，他們研究上述焊接方法之后，在自己工作中將提出更多新的改进意見，在祖国电弧焊技术上繼續开辟新的道路。

除了作者以外，尚有焊接技术員 H. A. 斯魯欽柯同志也参加了多焊条自动电焊法的研究工作。

目 录

序 言

一、熔剂層下自動焊的一般方法.....	1
二、多焊条自動電焊.....	4
三、應用多焊条自動電焊的經驗.....	12
四、多焊条自動電焊用設備.....	17
五、熔剂層下多焊条自動電焊的今后發展途徑.....	18

一、熔剂層下自动焊的一般方法

熔剂層下自动焊的热源为强大的电弧。焊接电弧的热能在陽極輝点和陰極輝点上放出，同样也在弧柱中放出。熔剂層下自动焊接的电弧所佔的体积現在研究得还是不够的。根据 X 光透視照片判断的結果，当电流强度 $I=1000$ 安培和电压为 40 伏特时，弧柱的体积將近 1 公分³。在上述情况下弧柱內所放出的热能为 22000 焦耳/秒①。

熔剂層下自动焊时，热量的分配不但是决定于与有效电流强度和电压的乘积成比例的电弧功率，同时也决定于电弧与焊件表面的相对位置以及弧柱底部液态金屬層的厚度。

例如，根据 E. O. 巴頓电焊研究所的資料，用沿焊縫方
向使焊条倾斜而人为地增厚液态金屬層的方法可以在焊接区域重新分配热量。在这种情况下使熔化熔剂所消耗的热量增加，而使熔化主体金屬所消耗的热量減少。

电焊研究所的資料說明了当輸入功率为 32 瓩和焊接速度为 25 公尺/小时时，电弧的电流强度和电压对热量分配的影响。該資料列于表 1 中。

显然，通过应用各种不同数量的焊条来改变弧柱的形狀，就可以改变焊接区域内热量的分配，从而影响到焊接過程的生产率和焊縫的形狀。

單焊条自动电焊的过程是以在不大的金屬部分 (2—5 公

① “自动焊” E. O. 巴頓电焊研究所論文集，苏联国立机械制造出版社 1948 年版。

表 1

电弧的电流 强度和电压	焊接区域所消耗的热量, %			损 失	
	熔 化				
	主体金属时	电焊条时	熔剂时		
700安培; 45伏特	24	10	36	30	
1000安培; 32伏特	35	17	18	30	

厘)上非常集中的电弧来实现的。这就大大地阻碍了在工业中广泛应用自动焊。

利用单焊条对金属结构作自动焊时, 待焊件相互连接处的精确度是具有特殊意义的。当待焊件之间的间隙为2—3公厘时, 在大多数的情况下, 没有特殊的装置(电磁焊接台、熔剂枕、各种垫环)是不可能使用熔剂层下自动焊的。

辅助设备的费用很大, 接缝边缘必须很仔细的准备, 这就降低了自动焊的效率。例如, 在工厂条件下用卷板法焊接圆筒形油罐时, 对接缝是在特殊的电磁焊接台上或用钢制垫环(用后拆除)来进行焊接的。在倾斜焊条焊接搭接缝时, 时常能察觉到焊缝向上板或下板偏移, 因而必须以二道施焊来代替一道。近来, 在搭接焊接罐底时, 焊接过程以垂直放置焊条和熔穿第一块板来进行的。同时, 需要用强大的焊接电流, 为此, 就需要有功率大的变压器或直流电机。

熔剂层下单焊条自动电焊的数据列于表2中。

自动焊接用E.O.巴顿电焊研究所的TC-17M型焊接拖

表 2

待焊的油罐	焊条 直径 公厘	电 流 安培	电弧电压 伏特	焊条速度 公尺/小时	焊接速度 公尺/小时	焊接 道数
圆筒形油罐(对接，板厚4—6公厘)	4	380—420	32—34	52	37	1
球形油罐(开有坡口的对接，板厚24公厘)	5	600—650	30—32	—	—	4

拉机进行。

曾企图更有效地利用电弧的热能和改变建筑条件下的焊接方式，但未能使技术经济指标得到重大的改变。

正如以上所指出的，在一点(待焊零件的一小段)上热量的高度集中，不总是有利的。例如，在堆焊(特种钢等焊接)时，焊接过程必须通过对主体金属熔穿度较小的分散电弧来进行，但单焊条自动电焊要保证这点是不可能的。断面为75×75公厘或更大的钢筋的自动焊接工作证明，用单焊条焊接会产生未焊透的现象。曾企图以摆动电焊条来避免未焊透这一缺陷，但未能得到良好的效果。

为了使整个接缝断面能均匀而又可靠地焊透，曾用过特殊的焊嘴作双焊条自动电焊。这就保证能完全焊透直径达100公厘的钢筋。

按照焊缝调整焊接拖拉机、焊头或其他机构乃是熔剂层下自动焊时最重要的问题之一。大家都知道，在单焊条焊接时，电焊条对坡口中心或焊接件接触线偏移2—3公厘就会使连接处产生未焊透现象，而对接焊和丁字焊的焊接过程中的

间隙从1公厘到1公厘以上，就会使焊接处熔穿(烧穿)。在单焊条焊接时，要避免上述的缺点也是不可能的。

用熔剂层下单焊条自动焊时，很难而且在很多情况下也不可能一道焊接就得到需要的焊缝形式，同时也很难影响过渡区域的组织和使焊缝的金属形成合金。

由于熔剂层下单焊条自动焊有上述的严重缺点，于是电焊工和专家就不得不寻找较完善的自动焊接方法，好来部分或完全地消除在一般自动焊接时所存在的缺点。熔剂层下多焊条自动焊接法就是这样方法，它能在很大程度上消除单焊条自动焊的缺点。

二、多焊条自动电焊

多焊条自动电焊的实质

熔剂层下多焊条(焊条束)自动电焊这一新方法的实质即在现有的焊接装置(例如：TC-17M型焊接拖拉机)上同时以二个或二个以上的电焊条盒供给电弧区域若干根电焊条(图1)。

电焊条由适当的机构送入特制的接触闸板——焊嘴中。

强大焊接电弧放电的同时，交替地燃烧着弧柱处的每根焊条。位于高温区域的电焊条的某些部分借助于弧柱的热量而得到熔化。

在弧柱区域内电焊条可以有各种不同排列的方法(三角形排列、正方形排列、梳形排列等)。

电焊条排列的主要方法列于图2。

电焊条在各种排列情况下，它们之间的距离可根据进行自动焊接过程的工艺特点来确定。

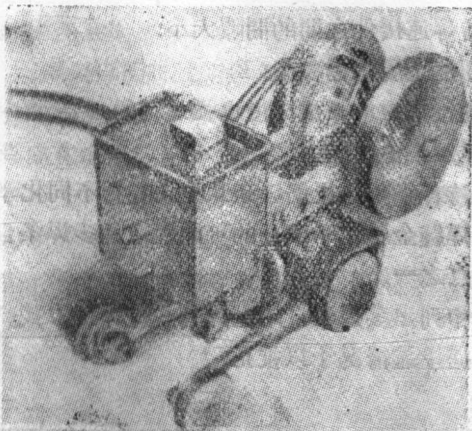


圖 1 具有两个电焊条盒的 TC-17M 型焊接拖拉机

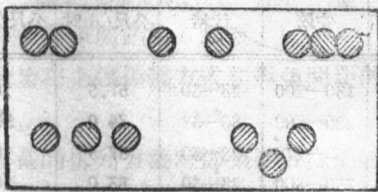


圖 2 多焊条电焊时电焊条的排列

焊接 方 式

电焊条的数量和其直径的选择、电焊条对待焊边缘的位置以及焊接方式都根据某些因素来确定。其中最重要的因素为：

- 1) 焊接工作的性质(熔焊、堆焊);
- 2) 待焊金属的厚度;
- 3) 待焊边缘的准备;

- 4)待焊连接件之間的間隙大小;
- 5)填注金屬的需要量;
- 6)进行集中电弧或分散电弧过程的必要性;
- 7)焊接设备的能力。

焊接特种鋼时，根据焊条束中用各种不同化学成分的焊条来調剂焊縫金属化学成分的可能性乃是多焊条自动电焊最重要的优点之一。

表3中列出多焊条自动电焊的一些焊接方式。这些焊接方式应根据上述情况予以校正。

表 3

焊 条 数 量	焊条直徑 公厘	电 流 安培	电弧电压 伏特	船条速度 公尺/小时	焊接速度 公尺/小时	焊接設備
2	2	180—200	28—30	57.5	16	СУГ-26
2	2	280—300	30—32	74.0	37	ТСД-1000
3	2	250—270	28—30	57.5	16	СУГ-26
2	3	750—800	28—30	83.0	28	ТСД-1000
5	3	750—800	28—30	56.0	26	ТСД-1000
2	4	700—750	30—32	57.5	25	ТСД-1000

电焊条的排列

焊接质量在頗大的程度上决定于电焊条的相互排列的位置，且主要是决定于正在熔化的电焊条对待焊件边缘的位置，这乃是多焊条自动电焊的一个特点。

改变电焊条对待焊边缘的位置，在同一焊接方式下可以使边缘得到各不相同的熔穿度。这在焊接各种不同結構时，

具有很大的实际意义。

例如，双焊条焊接时改变焊条間的距离，可以使兩根焊条間的主体金屬得到不同的熔穿度。圖 3 所示为以兩根直徑為 2 公厘的焊条在电流强度为 200—220 安培和电弧电压为 28—30伏特下用 TC-17M 型焊接拖拉机所焊成的焊縫之外形。

圖 4 所示为該焊縫的宏观組織。



圖 3 多焊条焊接的管子焊縫的外形

焊接过程中焊条間距为 6 公厘。

圖 5 所示为在上述焊接方式和焊条間距的条件下搭接焊縫的宏观組織。

关于电焊条的排列方法对焊条間金屬的熔穿度之影响曾经作过試驗，試驗的結果証明：兩根焊条間的距离由 0 到 6—8 公厘时熔穿度的变化很小，且这样的熔穿度 沒有多大的实际意义。当繼續將焊条間距从 8 公厘增加到 10 公厘或 10 公厘以上时，熔穿度就显著地降低。当兩根焊条間距为 12 公

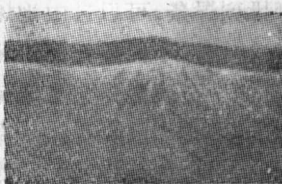


圖 4 多焊条电焊焊成的对
接焊縫的宏观組織

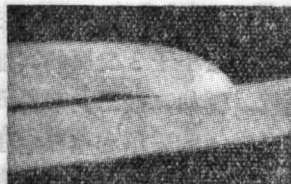


圖 5 多焊条电焊焊成的
搭接焊縫的宏观組織

厘时，从圖 6 中可看出，就会形成兩条相互平行的焊波。在某些情况下(特殊堆焊工作等)，焊接工艺的这种特点可当作独立的工艺方法来利用。

电焊条与待焊边缘相对的位置在很大的程度上会影响主体金属的熔穿度，尤其是影响焊条間的主体金属的熔穿度。圖 7(1、2 和 3)所示为自动对接焊接时电焊条之間的不同距离。

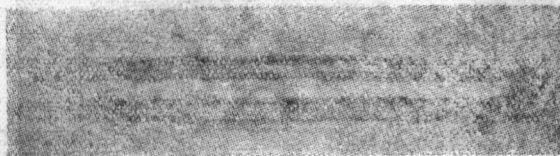


圖 6 当兩根焊条間距为 12 公厘时堆焊成兩条焊波

当待焊件之間的間隙为 1—3 公厘时，按照第 1 及 2 方案排列焊条最为合理。当待焊件間無間隙或間隙为 0.5 公厘时可采用第 3 方案来排列。

討論这些焊条排列的方案的同时，應該指出，按照第 1 方案排列焊条时，焊条間的熔穿度最小，而按照第 3 方案排列焊条时，焊条間的熔穿度最大。

圖 8 所示为按三角形排列电焊条的方案。

試驗証明，三角形排列电焊条能保証均匀而又充分地焊透和三根焊条間金屬的熔合。这样排列焊条，可以自由地焊接鋼板或間隙小于 3 公厘的其他对接連接，不需要任何垫环或熔剂枕。例如，按三角形排列直徑为 2 公厘的焊条且电流强度为 500—600 安培和电弧电压为 30—32 伏特时，焊接具有間隙小于 3 公厘、厚度为 8 公厘的鋼板，焊透深度达 70—75% (單面焊接)。

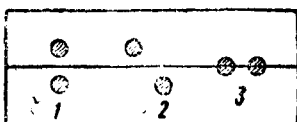


圖 7 多焊条电焊时排列电焊条的方案

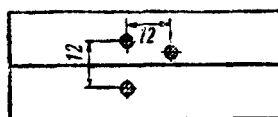


圖 8 对焊时排列电焊条的方案

以上列举了这些电焊条排列方案，还不能详尽地说明熔剂层下多焊条自动电焊时所有可利用的可能性。但就这些例子已很明显地表示出，多焊条自动电焊比单焊条自动焊优越得多。

焊接质量

熔剂层下多焊条自动焊的焊接质量，我们是取用 CT. 2 和 CT. 3 号低碳钢来确定的。焊接时用 AH-348A 号熔剂。焊接试样用的焊接方式列于表 4 中。用 CYT-26 型焊机供电的 TC-17M 型焊接拖拉机进行焊接。

表 4

电焊条 数量	电焊条直径 公厘	电 流 安培	电弧电压 伏特	试样的焊接条件
2	2	200—220	28—30	对接焊接，金属厚度为 12 公厘，坡口角为 60—70°，钝边为 2—3 公厘，间隙为 1—2 公厘
3	2	270—300	28—30	同 上

表 5 中列出了强度的平均值，此数值是由多焊条自动电焊的 5 个试样试验结果所得到的。

图 9 所示的为三根焊条自动电焊焊成的焊缝的 X-光透视

表 5

电焊条 数量	电焊条直径 公厘	强度极限 公斤/公厘 ²	弯曲角 度	冲度韧性 公斤·公尺/公分 ²
2	2	48.2	180	8.0
5	2	48.5	180	8.1

照片。

試样的宏觀組織的研究證明，主体金屬和填注金屬熔合得很好。在各種不同電焊條間距(從0至12公厘)的情況下用雙焊條焊成的試樣，其過渡區域內的宏觀組織的研究表明，隨着焊條間距的增加，過渡區域的組織反而變好，即過熱區域顯著地縮小，而在某些情況下可以完全沒有過熱區域。



圖 9 三根焊条对接焊成的焊缝的X-光透視照片

多焊條自動電焊的焊縫質量經全面檢查，沒有發現多焊條焊比單焊條焊有任何不好的地方。

技术-经济指标

表6列舉出用直流電單焊條自動焊和多焊條自動焊的生產率的数据。

這些都是在同样的条件(單焊条及多焊条的輸送速度、

表 6

电焊条 数量	电焊条直径 公厘	断面面积 公厘 ²	电 流 安培	电弧电压 伏特	熔化金属量 公斤/小时
1	2	3.14	130—150	28—30	1.5
2	2	6.28	180—200	28—30	3.0
3	2	9.42	250—270	28—30	4.5
1	5	7.1	250—270	28—30	3.37

焊接速度、熔剂牌号、金属的均一性等)下进行测量的。每种方案至少测量3次。

电能用量可以用接在焊接发电机的电动机上的,也可用接在焊接电弧线路上的电表来控制。电流由 СУГ-26型焊机来供给。

表7中列出焊接电弧中电能用量的测量结果,和用交流电进行单焊条焊接和多焊条焊接时每小时熔化金属量的测量结果。焊接是在同一功率的电弧下,用 CTЭ-34型变压器供电来进行的。

表 7

电焊条 数量	电焊条直径 公厘	电 流 安培	电弧电压 伏特	熔化金属量 公斤/小时	熔化每公斤 金属所消耗 的电能, %
1	5	200—230	32—34	3.37	100
3	2	260—280	28—30	4.5	84

以不同直径的和不同根数的焊条焊接时,熔化每公斤金属所消耗的电能和焊接过程生产率的数据,列于表8中。